九州大学学術情報リポジトリ Kyushu University Institutional Repository

野棲ハツカネズミの生活史 XII: 配偶子形成と初期 発生

浜島, 房則 九州大学医学部寄生虫学教室

https://doi.org/10.15017/22949

出版情報:九州大學農學部學藝雜誌. 22 (1), pp.9-15, 1965-10. 九州大學農學部

バージョン: 権利関係:

野棲ハツカネズミの生活史 XII

配偶子形成と初期発生*

浜 島 房 則†

The life history of the Japanese mouse, Mus molossinus Temminck and Schlegel XII

Gametogenesis and early development*

Fusanori Hamajima[†]

著者はすでに 野棲ハツカネズミの 生活史 I—XI を報告したが、この一速の研究の最後の報告である「配偶子形成と初期発生」について以下述べてみたい。

ヨウシュハツカネズミ Mus musculus における配偶子形成の研究は多くの研究者によつてなされている(Kirkham, 1916; Kingery, 1917; Yocom, 1917; Allen, 1923; Simkins, 1923; 高木, 1930; Heys, 1931; Cutright, 1932; Pincus, 1936; Allen and Creadick, 1937; Freud, 1939; Leblond and Clermont, 1952; Oakberg, 1957). また胚の初期発生に関しても同様である(Sobotta, 1895, 1908, 1911; Gerard, 1925; Rietschel, 1929; Lewis and Wright, 1935; Jolly and Férester-Tadie, 1936; Allen and MacDowell, 1940; Feket, Bartholomew and Snell, 1940).

しかし日本産野榛ハツカネズミ Mus molossinus における配偶子形成や初期発生についての詳しい報告は著者の知る限りではまだない。そとで1955~1959 年にわたり研究室内で本種を繁殖飼育し、その配偶子形成と初期発生について観察した。その結果、本種における配偶子の形成と初期発生について若干の知見を得たのでことに報告したい。

この研究にあたり、終始懇篤な指導と助言を賜つた 恩師元九州大学教授平岩礬邦先生、三宅直祥教授、内 田照章教官に対して感謝の意を表する。またこの稿を 発表する機会を与えられた九州大学医学部寄生虫学教 室宮崎一郎教授に対して心からお礼を申しあげる。

材料および方法

配偶子形成と初期発生を調べるため日本産野棲ハツカネズミ Mus molossinus Temminck and Schlegelを繁殖飼育し、その胚と出生個体の生殖腺をブアン液で固定し、6μのパラフィン切片をつくり、デラフィールドのヘマトキシリン・エオジン二重染色によつて観察した、配偶子形成の観察では分娩後5日目ごとに幼戦の生殖腺をとり、初期発生の観察では交尾直後から交尾後7日目までの胚をとり、それぞれの発生を検討した。

観察および考察

I. 配偶子形成

脊椎動物の生殖細胞の起源については種々の説がある (Everett, 1945). しかし Kirkham (1916), Simkins (1923), Brambell (1927) によるとシロハツカネズミの生殖腺は交尾後9日目の胎児の体際壁から発生し、これは大小2種の細胞をもつ胚上皮からなり、交尾後9~11日目に原始生殖細胞が出現するという。この時期ではまだ雌雄の生殖腺は区別できないが、交尾後11~12日目より生殖腺の分化は著しくなり、Brambell (1927, 1928) によると13日目に卵巣と精巣にははつきりした発育の相違が認められるという。また雄でははじめ胚上皮は増殖して生殖腺の内方に向かつて第1次性索を出し、これはやがて胚上皮から分離する。

Allen (1904), Simkins (1928), Heys (1931) によると第1次性索が発達して精細管になるという。また性索には大形の原始生殖細胞と小形の細胞がみられ、前者は妊娠後期まで有糸分裂によつて増殖し、その後退化減少して、生後間もなく完全に消失してしま

^{*} 九州大学農学部動物学教室業績, 第 339 号, 本 研究は文部省科学研究費によつて行なわれた。 明記して厚く謝意を表する。

[†] 九州大学医学都寄生虫学教室 Department of Parasitology, Faculty of Medicine, Kyushu University,

うと考えられている。また後者は精細管の最外側にある膜に接しており、との細胞が 精原細胞 に なるという。ついで出生時には同じような細胞がならんでいるが、数日間のうちにセルトリ細胞を分化する。また雌では第1次性素についで胚上皮がふたたび増殖し、大きな卵原細胞と小形の卵胞細胞とを含む第2次性素を出すと考えられている。

さらにてれば間もなく生殖上皮から分離し、後に1 個ずつの卵を中心として、これをとりまく若干の卵胞 細胞からなる原始ろ胞がつくられ、幼若な卵原細胞は 多くの有糸分裂像を示し、胚上皮の卵の増殖が起こる という。

1. 卵子発生。 本種に おいて 卵原細胞 は 生まれた 時には肥糸則を示している (第1図版, 第1図)。 ヨウシュハツカネズミに おいても これと 同様で ある (Brambell, 1927; Butcher, 1927). 出生時には卵原 細胞は若干の卵胞細胞にかとまれている。 出生後5日 目における卵巣の卵母細胞は卵原細胞の約3~4倍の 大きさになり、1層の卵胞細胞につつまれている(第 1 図版,第2図). しかしョウシュハツカネズミでは 卵母細胞は卵原細胞の約3倍の 大きさに なると いう (Kingery, 1917; Brambell, 1927; Freud, 1939). 卵細胞の数は 次第に 多数に なるが、 一部の卵は退化 し、ある卵胞は成長する。 生後 10 日目の 卵細胞は上 皮からわかれ、その卵細胞は5日目のものの約2倍。 15日目のものでは5日目のものの約3倍の直径に達す る (第1図版, 第3, 4図). 生後 20~25 日目におけ る卵胞のいくつかは 小さな 卵胞腔を もつように なる (第1図版, 第5図)。しかしョウシュハツカネズミで

は出生後6~7日日頃に活動的に増殖し、生後12~15日日には卵胞のいくつかは卵胞腔をもつようになるという (Kingery, 1917; Brambell, 1927; Engle, 1931).

本種における 透明帯を含まない 卵巣卵の 大きさは $72 \times 63 \sim 60 \times 46$ μ , 平均 65×52 μ (例数 12) である (第 1 図版, 第 6 図). ョウシュハツカネズミは卵胞が 125 μ の大きさになると卵は 72 μ の旗径に達し, それ 以後は卵胞の成長のみで, 卵子の成長はみられないという (Brambell, 1928). 第 1 表は ョウシュハツカネズミにおける卵巣卵の大きさを示したものである。 これによると固定液はまちまちであるが, 最高 70 μ 級 (59 μ の 直径を示している。 しかし生卵では直径は 95 μ であるという (Hartman, 1929). 第 2 表は卵管内の卵の大きさは 72×65 μ である. 本種における卵管内の卵の大きさは $72 \times 65 \times 61 \times 52$ μ , 平均 65×58 μ (例数 16) を示している。

2. 精子発生. 前述したようにハツカネズミの雄では出生時には精細管に大小の細胞がみられる(第1図版、第7図). 生後5~10日目には原始生殖細胞は消失してしまう(第1図版、第8図). 生後10~15日日に精細管壁は数層になり、特原細胞にはみられないような 濃く 染色される 核が みられる(第1図版、第9図). すなわち Cutright (1932) がヨウシュハツカネズミで述べているように肥糸期を示す第1特母細胞があらわれ、また精細管には明らかな廃所がみられ、造精作用は盛んになり成熟分裂が起こる。 生後15~20日目のある精細管には第2精母細胞がみられる(第1図版、第10図). これは第1特母細胞より小さい.

Table 1. Size of the ovarian ova (Vitellus only or inner diameter of zona) of *Mus musculus* in prepared sections of fixed ovaries.

Author	Diameter of ovum (µ)	Remarks
Sobotta (1908) Lams and Doorme (1907) Long and Mark (1911) Kremer (1924) Brambell (1928) Parkes (1932) Makino (1941)	(65 (59 68 59 70×70 70 70 65~70	Flemming fix. Bichrom fix. Osmic fix. Bouin's, Carnoy's and Zenker's modification fix. Flemming fix. Bouin fix. Bouin fix. Allen-Bouin's mixture fix.

Table 2. Size of the tubal ova (Vitellus or true ovum only) of Mus musculus in prepared sections after fixation.

Author	Diameter of ovum (#)	Remarks
Lams and Doorme (1907)	63	Osmic fix,
Anikiew (1908)	60×58	Zenker fix,
Long and Mark (1911)	55	Bouin's Carnoy's and Zenker's modification fix,

Cutright (1932) によると コウシュハツカネズミ で は生後 13 日目に精細管に腔所ができ、生後 18 日目の 精細管には第2 精母細胞がみられるという。 生後 20~ 25日目にはヨウシュハツカネズミと同様に 本 種 で も **精細胞が精細管にみられるようになる。また精細胞は** さらに小さくなり、形は長くのびる. Leblond and Clermont (1952) は 精細胞から精子のできるまでを golgi 別, cap 別, acrosome 則, maturation 則の 4 期にわけて説明している、中西 (1955) はシロハツ カネズミの精子中片の形成について次のように説明し ている。精子の軸糸は初め細胞の周辺をかてむように 走り、そのまわりにミトコンドリアが集まり、やがて これはらせん状に軸糸のまわりを回遊し、このまわり を細胞質がとりまき、精子の中片が形成されるといつ ている。本種では生後25日目には変態の進んだ精細胞 がみられ(第1図版, 第11図), 25~30 日目になると これが多数みられた。 生後 30~35 日目には 尾をもつ 若い精子が現われた、ヨウシュハツカネズミでは生後 21 日目に変態の進んだ 精細胞が みられ、33~35 日日 には尼をもつ 若い 精子が みられるという (Parkes, 1925; Rowland and Brambell, 1933)。この頃にな ると精子はその尖体をセルトリ細胞に接している。セ ルトリ細胞の 核は 精原細胞の ものより 長く卵形で、 Stevens (1911) は 1 細胞内に 2 種の核があることを 認め、濃く染色するものを karyosomes とし、そう でないものを plasmosomes とよんでいる。本種では 生後 40~45 日目には 成熟した 精子が精細管腔にみら れる (第1図版, 第12図), ヨウシュハツカネズミで は生後42日目 (Parkes, 1925; Rowland and Brambell, 1933), あるいは 40~45 日月(高木, 1930) と されており木種の場合に似ている。 生後 45~50 日日 には木種でもヨウシュハツカネズミでも多数の成熟精 子がみられる。つぎに生後造精作用がはじまる時期に ついてであるが、古く Groome (1934) は精子形成は 離乳期に始まるといつている. しかし Oakberg (1957) はヨウシュハツカネズミにおいて精原細胞から精子が できるまでの期間は 最低 33.5 日、 最高 35.5 日である と述べている.多くの研究者は精子の出現は生後30~ 50 日目にあると述べている (Yocom, 1917; Parkes, 1925; 高木, 1930; Rowland and Brambell, 1933; 平岩・浜島, 1960)。 したがつて とれらの報告から考 えて精子形成が始まる時期は生後間もない時期とみな される。

ヨウシュハツカネズミの 染色体数 (n) について Tafani (1889) は20(♀), Sobotta (1895) は12 (辛), Kirkham (1907) は 12(♀), Sobotta (1908) は 16(♀), Long and Mark (1911) は 20(♀), Makino (1914) は 20(♀,♂), Loukianow (1898) は 12(♂), Yocom (1917) は 20(♂), Cutright (1932) は 20(♂) としている。また Makino (1941) は木種における染色体数はヨウシュハツカネズミのものと同様に、n=20 であると述べている。成熟精子の頭部は平たく、フォーク形をしている。頭部の大きさは平均 8μ (例数 55) であつた。これは Snell (1956) のいうヨウシュハツカネズミの 8.1μとほとんど同様な大きさであつた。

II. 胚の初期発生

受精は卵の中に精子が貫入することを意味し、ハツ カネズミではこれが卵管の上部でおこるといわれてい る。精子は卵子に達するために子宮および卵管を上行 移動し,一方,雌の発情や交尾現象は排卵前におこる ことがわかつているので、精子は排卵のおこる時には すでに卵管内に存在するとみられている。大貫(1959) によると精子が受精前に雌の生殖器内にある時間存在 し、その尖体が変性あるいは脱落することは精子の生 理的変化と卵子内質入能力とに深い関係があると述べ ている。また Lewis and Wright (1935) によるとシ ロネズミの 精子は 30 秒たらずで 子宮頸管から子宮に 達するからハツカネズミでも同様であろうといい。ま た精子は射精後 15 分で 卵管の 上端に達するという。 しかし Merton (1939) によるとヨウシュハツカネズ ミでは精子は交尾後 15 分 で 卵管に入り、 2 時間で卵 に達し、受精は3時間内に起こるという。卵巣卵は第 2成熟分裂中期の状態で排卵され、1つの卵に1つの 精子が入り、数時間後に第2成熟分裂をおえ、第2極 体を放出し、間もなく最初の卵割が起とると考えられ ている。精子四入後卵内には卵子と精子の核である雌 雄前核がみられ、中片は精子の貫入後間もなく卵内で 頭部から離れるが,顆粒構造を示し,これは Gresson (1940) によるとミトコンドリアと 同じものと 考えら れている.

1. 卵割と胚盤胞. 本種における最初の卵割は卵管内で交尾後 24 時間内に起こる。ついで 4. 8. 16 細胞別となる。これらは卵管を通り(第 2 図版,第 1 ~ 6 図)。後にゆるやかに子宮におりてくる。子宮に入つた胚は間もなく 32 細胞になり。桑実胚にまで達するには受精後 60 時間を必要とする。その後。桑実胚の中に偏心的な 腔所が 現われる。この 腔所は大きくなり、胚盤胞腔となる。やがてこの腔をとりまく 1 層の大型の細胞からなる栄養膜と一側に内部細胞塊と上ば

れる多くの細胞がみられ、初期胚盤胞となる(第2図 版,第7図)、胚の発生段階,受精後の日令およびそ の部位についてみると、1 細胞期は交尾後24 時間以 内, 2 細胞期は24~38 時間, 3~4 細胞期は38~48 時間, 5~8 細胞期は 48~64 時間, 桑実胚期は 68~ 72 時間, 胚盤胞初期 は 72~82 時間にみられ, 1~8 細胞加までの発生段階の大部分は卵管内に、桑実胚お よび胚盤胞は子宮内に位置する,ヨウシュハツカネズ ミでは1細胞期は 木種と 同様に 24 時間内,2細胞期 も 24~38 時間, 3~4 細胞則は 38~50 時間, 5~8 細胞期は50~64時間,桑実胚期は68~80時間,胚盤 胞初期は74~82時間にみられるという(Lwis and Wright, 1985)、胚の位置もほぼ木種と同様である。 つぎに胚の発生段階とその大きさをみると1細胞期は 64 4, 2 細胞期は82 4, 4 細胞期は65 4, 8 細胞期は 68 4, 桑実胚期は65 4, 胚盤胞初期は87 4 であつ た。ヨウシュハツカネズミでは生での1細胞期は87.8 ル, 2 細胞期は 90 A, 4 細胞期は 87.6 A, 8 細胞期は 85.4 4, 桑実胚期は 89.4 4, 胚盤胞初期では 89.8 4 で ある (Lwis and Wright, 1935).

2. 着床と卵筒形成. 子宮内に入つた胚は関もなく 反子宮間膜側の粘膜のひだの間に反胚側を子宮上皮の方に向けて位置する ようになる。 交尾後 96 時間後に 胚の反胚側および 胚側の 栄養膜から 巨大細胞が生ずる。 着床の直前には胚の大きさに変化はみられない。 胚盤胞の増大は数時間で行なわれ。それにひきつづいて内部細胞塊も成長する。 このようになると胚盤胞は 卵黄陸をもち卵筒に なる (第2 図版, 第8 図)。 この 胚の大きさは直径 220 μ に達する。

8. 胚葉形成. 胚盤胞は増大し,内部細胞塊は2種 の細胞よりなるにいたり、交尾後4日目に卵筒が形成 される. 外胚葉は背腹の2つの部分にわかれ, 胚外外 胚葉と胚体外胚葉とよりなる、卵黄腔に接し、胚体外 胚葉をとりまく1層の細胞が内胚葉となる。交尾後5 日目では核の形や染色反応の相違はみられないが、胚 外外胚葉と胚体外胚葉ははつきり区別できる。約5日 目で原羊膜腔が胚体外胚葉の中にできる(第2図版、 第9四)、この時には未だ中胚葉はできていない。胚外 外胚葉の背端における著しい成長は担胚円錐体形成の きざしである。この発達は著しく、交尾後6日目で胚 全体の 1/2 をしめるようになる。この時、胚の大きさ は直径 550 μ に達する。中胚葉は 6 日目の胚にみら れ、胚外外胚葉と胚体外胚葉の接する面の胚体外胚葉 から離れる。このようにして交尾後7月目になると胚 の大きさは直径 750 μ に達する.

要 約

著者はすでに野様ハツカネズミの生活史 I—XI を発表したが、ここにこの一連の研究の最後としてこの報告を行なった。この研究において、著者が研究室内で繁殖飼育した日本産野棲ハツカネズミ Mus molossinus の配偶子発生と胚の初期発生とを観察した結果はつぎのようである。

出生時における卵原細胞は肥糸期に速している。出生後5日日における卵母細胞は卵原細胞の約3~4倍の大きさになり。うすい1層の卵胞細胞をもつている。出生後5~10日日に卵は苦しく増大し、生後10日日の卵は5日目のものの2倍の大きさになる。生後20日日に若干の卵胞にはじめて卵胞腔がみられる。生後50~60日目頃には成熟卵がみられ、まもなく排卵されるようになる。

出生時の精細管には原始生殖細胞とやがて精原細胞 になる小さな細胞が認められる。 生後5~10日目に は原始生殖細胞は 全部消失して しまう。 生後 10~15 口目に精細管壁には肥糸期にある数層の第1精母細胞 があらわれる。 生後 10~15 日日の あるものでは精細 管に腕所ができ、この頃より造精作用は盛んになり、 第1成熟分裂が起こる。 生後 15~20 目目の いくつか の精細管には第2精母細胞がみられ、これは第1精母 細胞の大きさの約半分の大きさを 示している。生後 20 日目にはいくらかの 精細胞が 精細管腔の 中心部に 近くみられる。精細胞はさらに小さくなり、形は長く のびる、生後25日目には変態の進んだ精細胞がみら れ,25~30 日目にはこれが多数みられる。 生後30~ 35日日には尾をもつ若い精子が現われ、それらの尖体 はセルトリ細胞に 接している。 生後 40~45 日日には 成熟した精子が精細管腔に みられ、 生後 45~50 日目 になると多数の成熟精子が現われる。 交尾後24時間 内では 受精卵は 1 細胞期 に あ る. 2 細胞期は 交尾後 24~38 時間内, 3~4 細胞期 は 38~48 時間内, 5~8 細胞期は 48~64 時間内, 桑実胚期は 68~80 時間内, 胚盤胞初期 は72~82 時間内に みられる。1~8 細胞 期までの大部分は卵管内に、桑実胚と胚盤胞は子宮内 にみられる、薬実胚の中には偏心的な腔が現われる. 子宮内に入つた胚は間もなく反子宮間膜側の粘膜のひ だの間に反胚側を子宮上皮の方に向けて位置するよう。 になる、交尾後 96 時間に して 胚の反胚側および胚側 の栄養膜から巨大細胞が生ずる。胚盤胞腔の増大につ づいて内部細胞塊も成長する. 胚盤胞は卵黄腔と内部 細胞塊をもつ卵筒となる. 外胚葉は2つの部分にわか

れ、胚外外胚葉と胚体外胚葉とよりなる。胚盤胞に接 し、胚体外胚葉をとりまく1層の細胞が内胚葉であ る。交尾後5日日では原羊膜腔が胚体外胚葉の中にで きる。胚外外胚葉の背端における苦しい成長によつて 担胚円錐体が生ずる。交尾後6日日に中胚葉がみられ 胚外外胚葉と胚体外胚葉が接する面に中胚葉が遊離 する。

文 献

- Allen, B. M., 1904. The embryonic development of the ovary and testis of mammals. Am. J. Anat., 3:89-154.
- Allen, E., 1923. Ovogenesis during sexual maturity. Am. J. Anat., 31: 439-470.
- Allen, E. and R. N. Creadick, 1937. Ovogenesis during sexual maturity. The first stage, mitosis in the germinal epithelium, as shown by the colchicine technique. Anat. Rec., 69: 191—195.
- Allen, E. and E. C. MacDowell, 1940. Variation in mouse embryos of 8 days gestation. Anat. Rec., 77: 165-178.
- Anikiew, A., 1908. Ueber der Bau des Eiprotoplasma und über die excentrische Lagerung der Kernfiguren in einigen Tubeneiern der Hausmaus (*Mus musculus* var. alba). Anat. Ang., 32: 320—330.
- Brambell, F. W. R., 1927. The development and morphology of the gonads of the mouse. Part I. The morphogenesis of the indifferent gonad and of the ovary. Proc. Roy. Soc. B., 101: 391—409.
- Brambell, F. W. R., 1928. The development and morphology of the gonads of the mouse. Part III. The growth of the follicles, Proc. Roy. Soc. B., 103: 258—272.
- Butcher, E. O., 1927. The origin of the definitive ova in white rat, *Mus norvegicus albinus*. Anat. Rec., 37: 13-29,
- Cutright, P. R., 1932. Spermatogenesis of the mouse. J. Morph., 54: 197-220.
- Engle, E. T., 1931. Prepubertal growth of the ovarian follicle in the albino mouse. Anat. Rec., 48: 341-350.
- Everett, N. B., 1945. The present status of the germ-cell problem in vertebrates, Biol. Rev., 20: 45-55.
- Fekete, E., O. Bartholomew and G. D. Snell, 1940. A technique for the preparation of sections of early mouse embryos, Anat. Rec., 76: 441-447.
- Freud, J., 1939. On the embryonic and postembryonic development of the ovary. Acta Brevia Neerl., 9: 202—204.

- Gerard, P., 1925. Recherches morphologiques en experimentales sur la uésicule ombilicale des rengeurs à feuillets inversés. Arch. Biol., 35: 269-293.
- Gresson, R. A. R., 1940. Presence of the sperm middle-piece in the fertilized egg of the mouse (Mus musculus), Nature, 145: 425.
- Groome, J. R., 1934. The modification of the testes of the mouse with age, with special reference to interstitial tissue. Proc. Zool. Soc. Lond., 1934, Part II: 235—240.
- Hartman, C. G., 1929. How large is the mammalian egg? Quart. Rev. Biol., 4:373-388.
- Heys, F. M., 1931. The problem of the origin of germ cells. Quart. Rev. Biol., 6: 1-45.
- 平岩響邦・浜島房則, 1960. 野棲ハツカネズミの生活史 V 性的成熟期の到来と生殖機能の衰退および寿命, 九大農学芸誌, 8:181-186.
- Jolly, J., and M. Férester-Tadie, 1936. Recherches sur l'oeuf du rat et de la souris. Arch. Anat. Micr., 32: 323-390.
- Kingery, H. M., 1917, Oogenesis in the white mouse. J. Morph., 30: 261-316.
- Kirkham, W. B., 1907. The maturation of the mouse egg. Biol. Bull., 12: 259-265.
- Kirkham, W. B., 1916. The germ cell cycle in the mouse, Anat. Rec., 10: 217-219.
- Kremer, J., 1924. Studien zur Oögenese der Säugetiere nach Untersuchungen bei der Ratte und Maus. Arch. Mikr. Anat., 102: 337—358.
- Lams, H. and J. Doorme, 1907. Nouvelles recherches sur la maturation et la fécondation de l'oeuf des mammifères. Arch. Biol., 23: 259-365.
- Leblond, C. P. and Y. Clermont, 1952, Spermatogenesis of rat, mouse, hamster and guinea pig as revealed by the "periodic acid-fuchsin sulfurous acid" technique. Am. J. Anat., 90: 167—215.
- Lewis, W. H. and E. S. Wright, 1935. On the early development of the mouse egg. Carnegie Inst. Wash. Publ., No. 459: 113-144.
- Long, J. A. and E. L. Mark, 1911. The maturation of the egg of the mouse. Carnegie Inst. Wash. Publ., No. 142; 72.
- Loukianow, S. M., 1898. Contribution à l'étude de la spermatogenèse chez la souris blanche. Arch. Sci. Biol., St. Petersbourg, 6; 285-305.
- Makino, S., 1941. Studies on the murine chromosomes. I. Cytological investigations of mice, included in the genus Mus. J. Fac. Sci. Hokkaido Imp. Univ. Ser. 7: 305-380.
- Merton, H., 1939. Studies on reproduction in the albino mouse. III. The duration of life of spermatozoa in the female reproductive

- tract. Proc. Roy. Soc. Edinburgh, **59**: 145—152. 中西 宥, 1955. ハツカネズミの特子中片の形成と 構造. (位相差顕微鏡による観察). 遺伝学雑誌, **30**: 128—132.
- Oakberg, E. F., 1957. Duration of spermatogenesis in the mouse. Nature, 180: 1137—1138.
- 大貫 泰, 1959. ハツカネズミの受精における粘子 の形態的変化と卵子侵入との関係について 2,3 の 複察. 動雑, 68:275-278.
- Parkes, A. S., 1925. The age of attainment of sexual maturity in the albino mouse. J. Roy. Micr. Soc., Part 3: 315-319.
- Parkes, A. S., 1932. The reproductive processes of certain mammals, II. The size of the Graafian follicle of ovulation, Proc. Roy. Soc. B., 109: 185-196.
- Pincus, G., 1936. The eggs of mammals. Macmillan Co. N. Y.
- Rietschel, P. E., 1929, Zur Morphologie der Genitalausführungsgänge im Individual-cyclus der weissen Maus. 2. Wissensch. Zool., 135: 428-494.
- Rowland, I. W. and F. W. R. Brambell, 1933. The development and morphology of the gonads of the mouse. IV. The post-natal growth of the testis. Proc. Roy. Soc. B., 112: 200-214.

- Simkins, C. S., 1923. Origin and migration of the so-called primordial germ cells in the mouse and rat. Acta Zool., 4: 241—278.
- Sobotta, J., 1895. Die Befruchtung und Furchung des Eies der Maus, Arch. Mikr. Anat., 45: 15-92.
- Sobotta, J., 1908. Ueber die Richtungsteilungen des Saügetiereies, speziell über die Zahl der Richtungskörper. Verhadl. d. Phys. Med. Gesellsch. Würzburg, 39: 241—261.
- Sobotta, J., 1911. Die Entwicklung des Eies der Maus vom ersten Auftreten des Mesoderms an bis Zen Ausbildung der Embryonalanlage und dem Auftreten der Allantois, Arch, Mick, Anat., 78: 271-352.
- Snell, G. D., 1956. Biology of laboratory mouse. P. 135. N. Y.
- Stevens, N. M., 1911. Heterochromosomes in the guinea-pig, Biol. Bull., 21: 155-167.
- Tafani, A., 1889. I primi momenti dello sviluppodei mammiferi. Studi di morfologia normale e patologica eseguiti sulle Uova dei topi. Arch. Anat. Norm. Pathol., 5: 1-59.
- 高木明茂, 1930. 「マウス」ノ精予発生現象ニ就テ. 解剖学雑誌, 3:1059—1109.
- Yocom, H. B., 1917. Some phases of spermatogenesis in the mouse. Univ. Cal. Publ. Zool., 16: 371-380.

Résumé

The author has already reported on the subject entitled "The life history of the Japanese mouse, Mus molossinus Temminck and Schlegel I-XI", that is, 1) on the devices of rearing, 2) estrous cycle, copulation, pregnancy and parturition in the rearing cages, 3) litter size, number of the weanling per litter and sex ratio, 4) postnatal development of the sucklings and growth after birth, 5) on the onset of puberty, decline of reproductive function and life span, 6) notes on the breeding habit, 7) some notes on the sexual cycle, 8) habitat of the mouse and its reproduction, 9) prenatal growth of body weight, neck- and crown-rump length, length of tail and hind foot, and size of genital organs in the fetus, 10) postnatal growth of head and body, tail, hind foot, ear, skull and gonads, 11) Mesurements of external characters, skull and reproductive organs in adult mouse. In the present paper I have reported on the gametogenesis and early development as the last one of a series of the study.

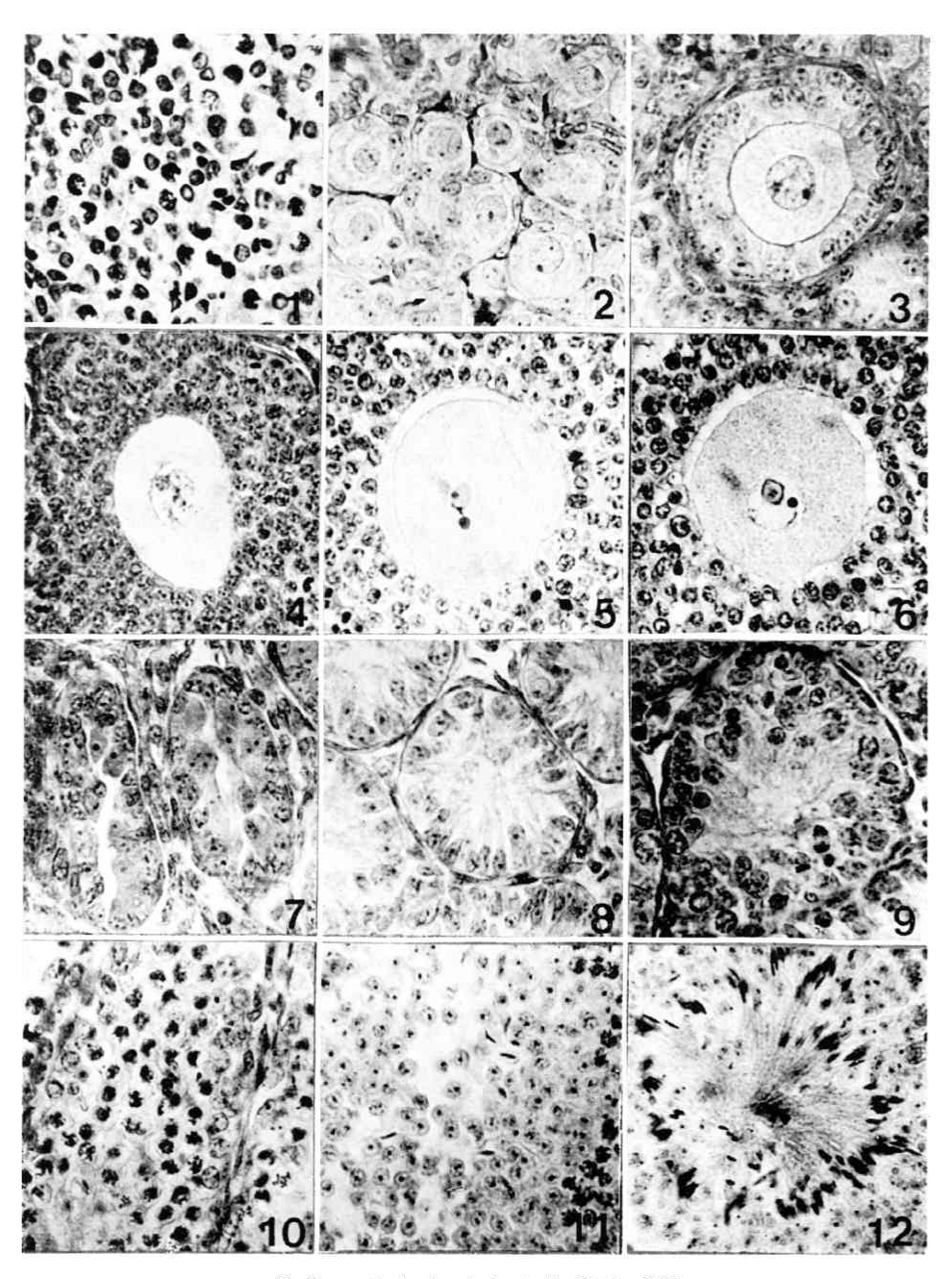
The nuclei of the oogonia have reached the pachytene stage by the time of birth. By 5 days post partum all the oocytes in the ovary have a single layer of follicular cells, growing approximately three or four times of the oogonia in size. By 10 days post partum the oocytes are two times of the oocytes of 5 days post partum in size. At 20 days post partum some of the follicles acquire for the first time a small antrum. The first estrus takes place at 50 to 60 days post partum, and at that time the ovum is surrounded by the cells of the cumulus oophorus in the antrum of the mature follicle. Ovulation occurs soon after this condition is established. The seminiferous tubules in the new-born mouse have primordial germ cells and spermatogonia. But the primordial germ cells disappeared at about 5 to 10 days post partum. At 15 days post partum appear spermatocytes with the pachytene nuclei. Each of them contains a large deepstaining nuclear structure which was not present in the spermatogonia at any time. The lumen appears first in some of the seminiferous tubules at 15 days post partum. After this time spermatogenesis appears to proceed more actively in some tubules. At about 15 to 20 days post partum in some tubules the first maturation division takes place in the primary spermatocytes,

and the secondary spermatocytes are visible. The secondary spermatocytes are approximately one-half of the primaries in size. The nucleus of the resting stage contains just one or two small nucleoli. The second maturation division follows soon after the first one, and spermatids are found in the tubules by 20 days post partum. Spermatids are distinguished from the secondary spermatocytes by their smaller size, and their position situated nearer the center of lumen of the tubule. The elongation of spermatids is continued until the metamorphosis into spermatozoa are finished. In 25 days post partum the metamorphosis is taking place in many cells. At the age of 30 to 35 days immature spermatozoa with tails are attached to Sertoli cells by their heads. Mature spermatozoa being free in the lumen of the tubules are first found at the age of 40 to 45 days. At 45 and 50 days old testes contain large numbers of mature sperms,

The first cleavage occurs about 24 hours after copulation. The ovum reaches two-cell stage about 24 to 38 hours, four-cell stage about 38 to 48 hours, eight-cell stage about 48 to 64 hours, morula stage about 68 to 80 hours and blastocyst stage about 72 to 82 hours. We can find ova being from one-cell to eight-cell stages in the oviduct, and more advanced stages in the uterus. The blastocyst is oriented so that the abembryonic side faces the point of first contact antime-sometrially. After that the blastocoele expands and the inner cell mass grows, A single layer adjoining the blastocoele and surrounding the embryonic ectoderm is the entoderm. Thus blastocyst becomes to be the egg cylinder stage. The ectoderm of egg cylinder is divided into two parts. One of them gives rise to extraembryonic ectoderm; another to the embryonic ectoderm. About 5 days after copulation the proamniotic cavity appears in the embryonic ectoderm. By active growth of dorsal end of extraembryonic ectoderm the ectoplacental cone develops. At 6 days after copulation the first mesoderm cells are budded off from a narrow strip of embryonic ectoderm.

Explanation of Plate 1

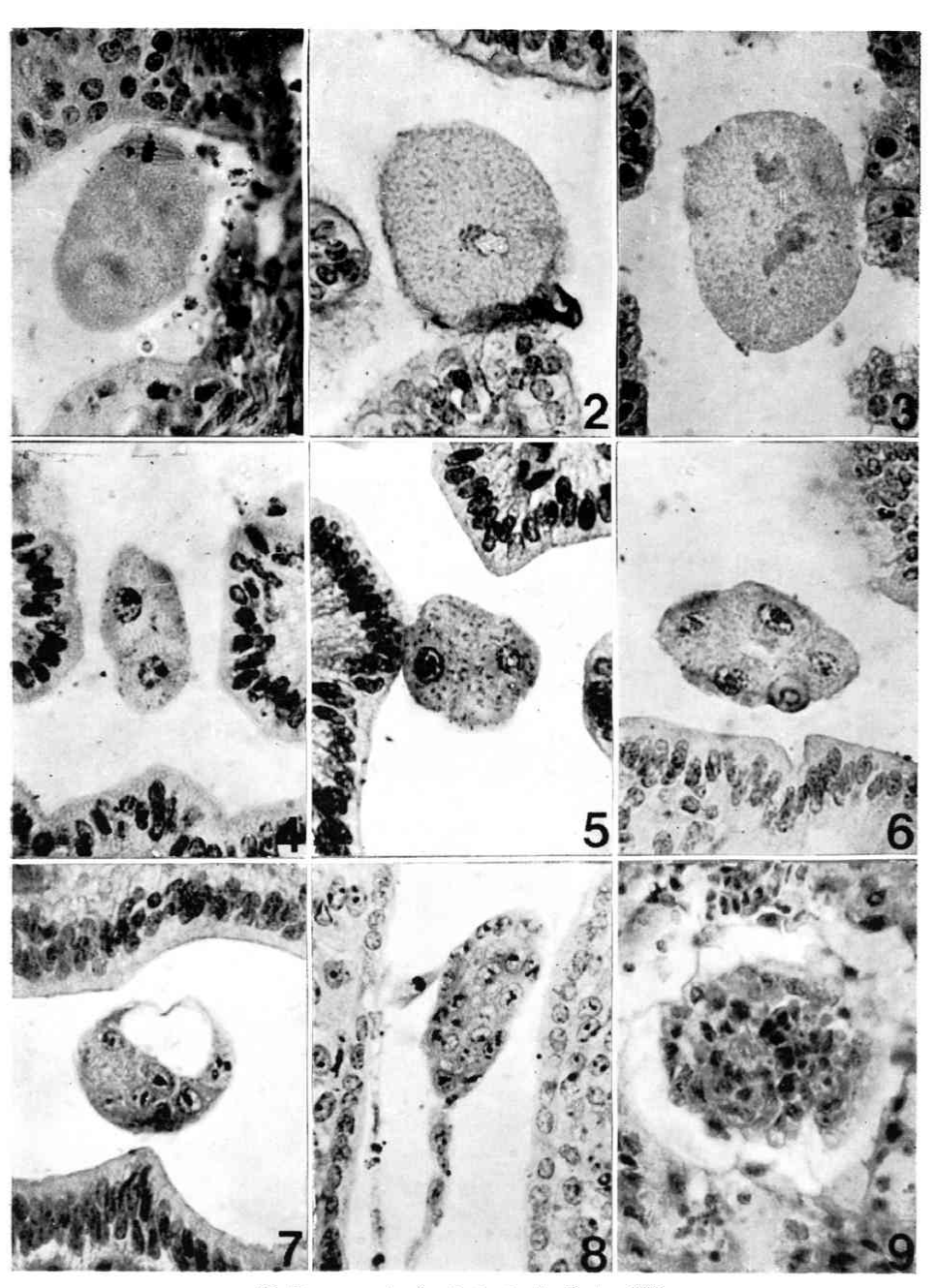
- Fig. 1. Ovarian phase at the time of birth, showing oogonia characterized by their large size and by the clear appearance of the cytoplasm surrounded by follicle cells. \times 400.
- Fig. 2. Ovarian phase at the age of five days, showing many occytes surrounded by a single layer of follicle cells, × 400,
- Fig. 3. Enlarged view of the follicle at the age of ten days, showing the transitional appearance from one to two layers of follicle cells. There are minute chromatic spheres in the egg nucleus. \times 400.
- Fig. 4. Enlarged view of the follicle at the age of fifteen days, showing the appearance of many layers of follicle cells. Several minute chromatic spheres are visible in the egg nucleus. × 400.
- Fig. 5. Enlarged view of the ovum with a small antrum at the age of twenty five days, showing two spherical nucleoli in the nucleus, \times 400.
- Fig. 6. Enlarged view of the ovum measuring 70 \mu in diameter in Graafian follicle at the age of sixty five days. In the nucleus are seen two distinct spherical nucleoli. \times 400.
- Fig. 7. Enlarged view of the seminiferous tubule at the time of birth, showing the primordial germ cells and spermatogonia. \times 500.
- Fig. 8. Enlarged view of the seminiferous tubule at the age of ten days, showing the spermatogonia only. \times 500.
- Fig. 9. Enlarged view of the seminiferous tubule at the age of fifteen days, showing the spermatogonia and spermatocytes. At the time the lumen of tubule becomes first clear, × 500.
- Fig. 10. Enlarged view of the seminiferous tubule at the age of twenty days, showing many spermatocytes and some spermatids. \times 500.
- Fig. 11. Enlarged view of the seminiferous tubule at the age of twenty five days, showing metamorphosis of many spermatids into spermatozoa. \times 500.
- Fig. 12. Enlarged view of the seminiferous tubule at the age of forty five days, showing large numbers of mature sperms attached to the Sertoli cells by their heads. \times 500.



野棲ハツカネズミの生活史 XII

Explanation of Plate 2

- Fig. 1. Tubal fertilized ovum at one day after copulation, showing the metaphase of the second maturation division. \times 400.
- Fig. 2. Tubal ovum at one day after copulation, showing the second polar body. imes 400.
- Fig. 3. Tubal ovum before conjugation of female and male pronuclei at one day after copulation, \times 400.
- Fig. 4. Tubal ovum in two-cell stage at two days after copulation. imes 400.
- Fig. 5. Tubal ovum in four-cell stage at two days after copulation. imes 400.
- Fig. 6. Tubal ovum in eight-cell stage at two days after copulation. \times 400.
- Fig. 7. Early blastocyst in uterus at three days after copulation. imes 400.
- Fig. 8. Early egg cylinder stage at four days after copulation. \times 400.
- Fig. 9. More advanced egg cylinder stage at five days after copulation. × 400.



野棲ハツカネズミの生活史 XII